

Modélisation de terrains par primitives

Jean-David Gènevaux¹, François Grosbellet^{1,2}, Éric Galin¹, Adrien Peytavie¹, Éric Guérin¹, Cyril Briquet¹, Bedřich Beneš³

¹Université de Lyon, LIRIS, CNRS, UMR5205, France ²Université de Limoges, XLIM, CNRS, UMR7252, France ³Purdue University, USA

Résumé

Nous proposons un modèle de terrain hiérarchique et compact permettant de représenter des scènes complexes. Ce modèle de représentation s'inspire des surfaces implicites à squelettes et définit une fonction d'élévation sous la forme d'un arbre de construction. Les feuilles sont des primitives décrivant des morceaux de terrains à différentes échelles (montagnes, fleuves, ...) et les nœuds internes sont des opérateurs de combinaison. L'élévation d'un point est calculée en traversant la structure d'arbre et en combinant les contributions de chaque primitive. La définition des feuilles et des opérateurs garantit que la fonction d'élévation résultante est Lipschitzienne, ce qui permet d'accélérer les calculs de visualisation en utilisant un algorithme de sphere tracing.

Mots Clés : modélisation de terrains, phénomènes naturels, modélisation procédurale, surface implicite

We propose a compact hierarchical procedural model that combines feature-based primitives to create complex continuous terrains. Our model is inspired by skeletal implicit surfaces and defines the terrain elevation by using a construction tree whose leaves are primitives describing terrain fragments, and whose inner nodes include operations that combine its sub-trees. The elevation of a point is evaluated by traversing the tree and by combining the contributions of each primitive. The definition of both leaves and operators guarantees that the resulting elevation function is Lipschitz which enables us to speed up sphere tracing and surface adaptive tessellation algorithms.

Keywords: terrain modelling, natural phenomena, procedural modelling, implicit surface

1. Introduction

La modélisation de terrains a été un sujet de recherche actif en informatique graphique depuis de nombreuses années. Malgré les progrès considérables dans ce domaine, il reste de nombreux problèmes de contrôle et de performance.

Les techniques actuelles peuvent être classées en différentes catégories : la génération procédurale, les simulations, ou les algorithmes de construction à partir d'exemples ou d'esquisses. Les méthodes procédurales sont efficaces sur le plan calculatoire mais ne fournissent pas de contrôle précis sur la structure du terrain obtenue. Les méthodes de simulation d'érosion fournissent des résultats géologiquement corrects, mais ne permettent pas un bon contrôle et nécessitent des temps de calcul importants. Les méthodes d'édition à partir d'esquisses nécessitent un contrôle manuel pouvant être fastidieux. Enfin les méthodes de synthèse à partir d'exemples ne permettent de reproduire qu'un seul type de relief homogène aux images données. Il n'existe pas, à ce jour, d'algorithme permettant une modification interactive de terrains complexes avec un haut niveau de détails au sol, et permettant un placement rapide et intuitif d'éléments caractéristiques géologiques et géographiques en utilisant des

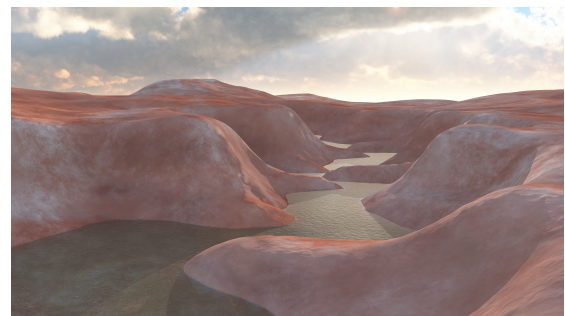


Figure 1: Exemple de terrain créé à l'aide de notre modèle de représentation. Pour représenter le relief, une trentaine de primitives ont été combinées. L'élévation de l'eau est définie à l'aide d'un arbre de construction supplémentaire.

opérations d'édition simples. Un problème connexe vient du fait que beaucoup de ces algorithmes ne permettent pas de représenter les terrains à différentes échelles : les terrains sont modélisés sur des structures de grilles qui représentent des reliefs à une précision fixe. Ces terrains sont souvent sto-

ckés sous la forme de cartes de hauteurs qui peuvent être converties, plus tard, en des maillages adaptés à une visualisation rapide avec des mécanismes de niveaux de détails.

Dans ce travail, nous sommes partis de la constatation suivante : les paysages réels sont composés d'une structure qui rassemble plusieurs éléments géologiques et géographiques homogènes (*landform features*) qui peuvent provenir de différentes échelles. On remarquera alors qu'un terrain est la composition de rivières, de montagnes, de falaises, de lacs, de plaines. D'autres éléments, dus à l'activité humaine, peuvent structurer ces reliefs comme le terrassement dû aux routes et aux structures urbaines. Nous souhaitons donc concevoir un modèle de représentation qui repose sur la composition intuitive d'éléments caractéristiques et qui s'appuie sur des contenus générés procéduralement.

Dans cet article, nous proposons un nouveau modèle hiérarchique compact qui combine des primitives procédurales, représentant des éléments caractéristiques et géologiquement homogènes du terrain. Ceci nous permet de définir un terrain continu (Fig. 1), avec un niveau de détails variable. Notre approche permet de construire une grande variété de terrains, et de les modifier à l'aide d'un contrôle intuitif. Notre représentation repose sur une structure d'arbre qui combine les différentes primitives à l'aide d'un ensemble d'opérateurs. Les primitives et les opérateurs définissent une fonction d'élévation continue et Lipschitzienne et une fonction de poids qui correspond au domaine d'évaluation.

Cette représentation est compacte en mémoire, efficace quand il s'agit de l'évaluer, et facile à implémenter, y compris sur GPU. La définition mathématique des primitives et des opérateurs permet de visualiser le terrain de façon efficace. L'utilisation de fonctions d'élévation Lipschitziennes permet de visualiser nos terrains en temps-réel, avec un algorithme de *sphere tracing* ou par des méthodes de maillage GPU (Fig. 2). Ainsi, notre modèle autorise une représentation et une édition interactive de grandes scènes. Combinée à l'utilisation d'opérations d'éditations intuitives qui s'intéressent au placement et à la distribution d'éléments géologiques caractéristiques et homogènes, cette représentation permet un contrôle aussi bien global que local.

2. État de l'art

Dans cette partie, nous présentons les principales méthodes de génération procédurale de terrain, les algorithmes de simulation et les outils d'édition interactifs. Pour un état de l'art complet et récent de la modélisation procédurale, nous renvoyons le lecteur à [STBB14]. Pour un état de l'art sur les structures de données permettant la représentation de terrain, nous renvoyons le lecteur à [NLP*13].

La modélisation procédurale est utilisée depuis longtemps en informatique graphique. Ces méthodes sont souvent simples à implémenter et permettent de générer une infinité de terrains en modifiant simplement quelques paramètres. Les algorithmes de subdivisions adaptatives qui permettent d'obtenir un grand niveau de détails sont à classer avec les approches à base de combinaisons de fonctions de bruit à plusieurs échelles [EMP*98]. Bien que ces méthodes

puissent générer des terrains infinis avec un niveau de précision illimité, elles sont difficilement contrôlables et produisent souvent des terrains sans structuration géographique.

Plusieurs algorithmes permettent d'ajouter des rivières à des terrains procéduraux. Kelley et al. [KMN88] proposent de créer des bassins versants par un algorithme de subdivision. Prusinkiewicz et al. [PH93] combinent l'algorithme du *midpoint displacement* avec un L-système pour générer des rivières fractales. Belhadj et Audibert [BA05] modifient un algorithme de subdivision stochastique pour qu'il soit contraint par les rivières et les crêtes générées par des particules suivant un mouvement Brownien. Theo [Teo09] génère un réseau de rivières avant de construire un terrain et Derzapf et al. [DGGK11] subdivisent des réseaux hydrographiques sur des planètes entières. Récemment, Génevaux et al. [GGG*13] s'inspirent de la géologie pour générer des îles parcourues de cours d'eau qui respectent les grands principes de l'hydrologie. Notre modèle de représentation s'inspire de la structure de données présentée dans cet article et l'étend en proposant de nouveaux opérateurs et de nouvelles primitives. De plus, notre modèle offre des outils d'édition intuitifs et permet, grâce aux propriétés mathématiques des fonctions Lipschitziennes, une visualisation interactive à l'aide d'un algorithme de *sphere tracing*.

Les techniques de simulation physique imitent l'effet de l'eau, du vent ou encore de la gravité pour sculpter des terrains. Le premier article à introduire une notion d'érosion hydraulique et de stabilisation est probablement [MKM89] et de nombreux articles comme [Nag98, CMF98, BF02] ont amélioré cette approche. La majorité des techniques décrites s'appuient sur des simulations Eulériennes qui reposent soit sur des cartes de hauteurs, soit sur des structures à base de piles de matières [BF01], soit sur des grilles régulières 3D [BTHB06]. Les méthodes Lagrangiennes qui utilisent des particules ont été étendues pour prendre en compte l'érosion dans [KBKS09], et la simulation de la corrosion a été ajoutée dans [WCMT07]. Ces algorithmes de simulation sont à la fois peu contrôlables, et très coûteux en temps de calcul et ne peuvent, par conséquent, pas être utilisés sur de très grands terrains même quand ils sont transposés sur GPU [MDH07, VBHS11].

L'édition interactive cherche à rendre intuitives la création et l'édition de terrains. Rusnell et al. [RME09] génèrent des terrains en calculant des distances par rapport à un graphe. Zhou et al. [ZSTR07] combinent des exemples de terrains réels, représentés par des cartes de hauteurs pour obtenir un nouveau terrain, mais leur méthode est limitée par les données d'entrées. Les méthodes à partir d'esquisses [GMS09, TGM12, TEC*14] et de modélisations interactives [PGMG09] permettent d'obtenir un contrôle important sur l'aspect final du terrain mais peuvent donner des résultats géologiquement incorrects. Les approches hybrides [SBBK08, VBHS11] qui essaient de combiner interactions et simulations physiques sont limitées à des scènes petites ou à l'édition de terrains déjà générés.

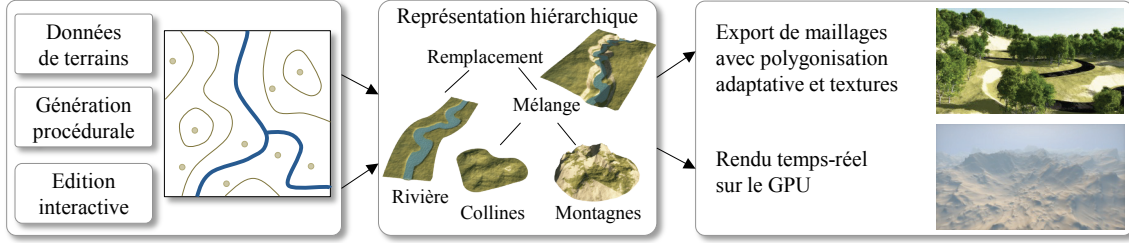


Figure 2: Notre mod  le de repr  sentation permet de combiner    la fois des donn  es r  elles et des techniques proc  durales. Notre structure repose sur un arbre de construction o   chaque feuille correspond    une primitive. Nous visualisons nos terrains en temps-r  el sur GPU, soit par un algorithme de sphere tracing, soit par un maillage adaptatif [DIP14].

3. Repr  sentation par arbre de construction

Notre mod  le de terrain est d  fini par un arbre de construction (Fig. 3). Les feuilles de l'arbre agissent comme des primitives g  n  rant chacune un morceau de terrain. G  n  ralement, cette portion de terrain repr  sente une unit   homog  ne comprenant un ou plusieurs   l  ments caract  ristiques. Les n  uds internes repr  sentent des op  rateurs qui combinent et agr  gent des sous-arbres c'est-  -dire des portions de terrains plus ou moins complexes compos  es elles-m  me *in fine* de plusieurs primitives. L'  l  vation d'un point \mathbf{p} d  pend donc de la combinaison hi  rarchique de toutes les primitives de l'arbre.

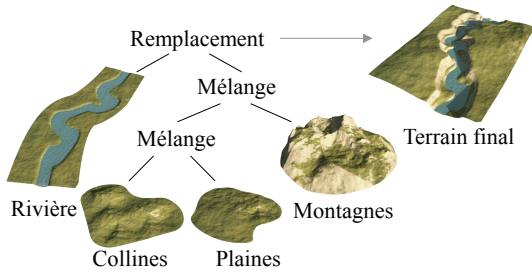


Figure 3: Un arbre de construction simplifi   repr  sentant une rivi  re creus  e dans un relief accident  .   diter la sc  ne revient    modifier le placement des primitives et    manipuler les param  tres des diff  rentes fonctions d'  l  vation.

Nous d  finissons deux fonctions pour tout n  ud : une fonction d'  l  vation $f : \mathbf{R}^2 \rightarrow \mathbf{R}$ et une fonction de poids $\alpha : \mathbf{R}^2 \rightarrow \mathbf{R}^+$. La fonction d'  l  vation f est Lipschitzienne et la fonction de poids α est de classe C^1 . Cette derni  re d  finit la fa  on dont un morceau de terrain sera combin   avec son environnement, en utilisant un op  rateur. Nous d  finissons le support compact, not   Ω_0 , de la fonction de poids α comme :

$$\Omega_0 = \{ \mathbf{p} \in \mathbf{R}^2 \mid \alpha(\mathbf{p}) > 0 \}$$

La fonction d'  l  vation f est d  finie sur Ω_0 . Soit $T > 0$ une valeur de seuil. Le terrain est d  fini sur un sous-domaine, not   $\Omega_T \subset \Omega_0$ (Fig. 4), d  fini par :

$$\Omega_T = \{ \mathbf{p} \in \mathbf{R}^2 \mid \alpha(\mathbf{p}) \geq T > 0 \}$$

Les domaines Ω_0 et Ω_T peuvent   tre compos  s par une ou

plusieurs composantes connexes. Dans le reste des illustrations de cet article et pour des besoins de clart  , la r  gion Ω_0 ne sera pas montr  e, sauf si le contraire est explicitement mentionn  .

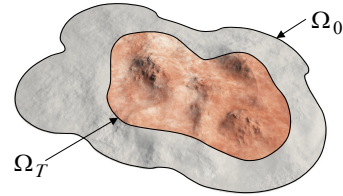


Figure 4: Caract  risation d'un   l  ment de terrain : pour tout n  ud, Ω_0 d  finit le support de d  finition des fonctions f et α ; le terrain n'existe que sur $\Omega_T \subset \Omega_0$.

Dans notre impl  mentation, nous utilisons $T = 1/2$. Nous d  finissons la surface du terrain \mathcal{T} comme l'ensemble des points de l'espace dont l'  l  vation est d  finie    partir de leur projection dans Ω_T :

$$\mathcal{T} = \{ (\mathbf{p}, f(\mathbf{p})) \in \mathbf{R}^3, \mathbf{p} \in \Omega_T \}$$

La construction de notre mod  le hi  rarchique garantit que les fonctions d'  l  vation f des primitives et des op  rateurs soient Lipchitziennes. Cette propri  t   nous permet d'acc  l  rer diff  rents calculs pour la visualisation.

L'  valuation des normales d'un terrain peut   tre utile pour certains op  rateurs et est n  cessaire pour le rendu. La normale    un terrain en un point \mathbf{p} est calcul  e soit par l'  valuation du gradient de l'  l  vation ∇f , soit par une approximation discr  te.

$$\nabla f(\mathbf{p}) \simeq \frac{1}{2\varepsilon} \begin{pmatrix} f(\mathbf{p} + \varepsilon_x) - f(\mathbf{p} - \varepsilon_x) \\ f(\mathbf{p} + \varepsilon_y) - f(\mathbf{p} - \varepsilon_y) \end{pmatrix}$$

Notre syst  me impl  mente un calcul exact du gradient pour les types de n  uds o   cela est possible. De plus, lorsque les   valuations de $f(\mathbf{p})$, $\alpha(\mathbf{p})$ et du gradient $\nabla f(\mathbf{p})$ sont n  cessaires, nous utilisons une requ  te optimis  e qui calcule et renvoie simultan  ment toutes ces valeurs en un appel. Cette optimisation am  liore les temps de calculs, non seulement parce que l'arbre est parcouru une seule fois, mais   galement parce que de nombreux termes interm  diaires sont factoris  s et donc calcul  s une seule fois.

4. Primitives

Nous proposons deux types de primitives : des primitives procédurales à squelettes et des primitives construites à partir d'images. Ces deux approches sont complémentaires et permettent un contrôle différent quant à la gestion du placement des éléments caractéristiques. Les primitives procédurales ont l'avantage d'être légères en consommation mémoire et rapides à évaluer mais elles nécessitent de trouver une fonction mathématique qui imite bien le type de relief que l'on souhaite représenter. À l'inverse, les primitives construites à partir d'images permettent, à un coût mémoire plus important, d'intégrer à l'intérieur d'un terrain des données réelles ou des reliefs créés par un artiste.

4.1. Primitives à squelettes

Les primitives à squelettes sont inspirées à la fois du modèle CSG (*Constructive Solid Geometry*) et du modèle du *Blob-Tree* [WGG99]. Ces primitives sont définies par un squelette géométrique (point, segment, courbe, contour) et par un ensemble de paramètres qui décrivent les fonctions d'élévation et de poids en fonction de la distance au squelette. Nous utilisons différents types de squelettes adaptés à la représentation des éléments caractéristiques d'un terrain.

Les primitives disques représentent des portions de terrain. Le centre \mathbf{c} et le rayon r décrivent la zone d'influence de la primitive (Fig. 5). Soit la fonction de bruit $\eta(\mathbf{p}) : \mathbf{R}^2 \rightarrow \mathbf{R}$ qui contrôle la rugosité locale du terrain, $\{a_i\}$ un ensemble d'amplitudes de valeurs décroissantes, et $\{s_i\}$ un ensemble de fréquences croissantes. Nous définissons :

$$f(\mathbf{p}) = \mathbf{c}_z + \sum_{i=0}^{n-1} a_i \eta((\mathbf{p} - \mathbf{c}) s_i)$$



Figure 5: Les primitives disques définissent le relief dans des zones circulaires. Plusieurs fonctions d'élévation peuvent être utilisées : une fonction constante donnera une plaine, une turbulence produira des collines et une fonction de bruit ridge-multifractals [MKM89] imitera des montagnes.

Les primitives courbes sont construites avec une courbe notée Γ définie par morceaux et avec un ensemble de profils $\{c_i\}$ qui décrivent, le long de la courbe, le relief sous forme de coupes transversales (Fig. 6). En pratique, nous stockons chaque coupe comme une fonction uni-dimensionnelle par morceaux de quadriques afin d'accélérer les calculs.

La distance signée entre \mathbf{p} et la courbe Γ est notée $d(\mathbf{p})$, la projection de \mathbf{p} sur la courbe est notée \mathbf{q} . Appelons c le profil transversal passant par \mathbf{q} et construit par interpolation selon les coordonnées curvilignes sur la courbe Γ . Nous définissons :

$$f(\mathbf{p}) = \mathbf{q}_z + c \circ d(\mathbf{p})$$

Les rivières sont créées à l'aide d'une courbe squelette Γ qui définit la trajectoire du cours d'eau. Les profils $\{c_i\}$ permettent de représenter les plans de coupe de la rivière en fonction de son type (ruisseau, rivière, torrent, fleuve). Les confluences ou les rivières en tresses sont construites de la même manière, à l'aide de profils de coupes plus complexes qui permettent de représenter plusieurs bras ou en les combinant avec l'opérateur de mélange.

Les routes reposent sur le même modèle que les rivières mais avec des plans de coupe différents. Le squelette est une fonction continue C^1 approximant des morceaux de clothoïdes qui représentent la trajectoire de la route. Les profils sont paramétrés par la taille de la route et des accotements. Ces primitives définissent aussi l'élévation dans un proche voisinage de la route pour permettre le raccord avec d'autres morceaux de terrain.

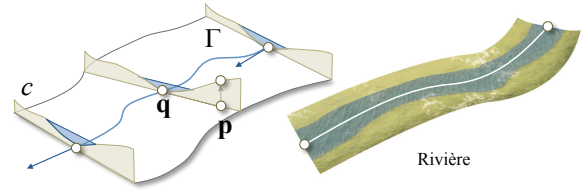


Figure 6: Les primitives courbes permettent de créer facilement des reliefs suivant une trajectoire comme des routes ou des rivières. Les courbes sont construites par morceaux de cubiques et de quadriques afin d'accélérer les temps de calcul des fonctions de distance d'un point au squelette.

Les primitives à contours sont créées à partir d'une courbe fermée autour d'un centre \mathbf{c} , d'un vecteur d'orientation \mathbf{v} et d'un ensemble de fonctions de profils $\{c_i\}$ qui décrivent l'élévation de manière radiale. Chaque profil de coupe est stocké sous la forme d'une fonction uni-dimensionnelle par morceaux de quadriques (Fig. 7). Soit un point \mathbf{p} , nous calculons ses coordonnées polaires : la distance $d(\mathbf{p})$ et l'angle $\theta(\mathbf{p})$ calculé à l'aide du vecteur \mathbf{v} . L'élévation du point dépend d'une fonction de profil c que l'on obtient par interpolation dans un secteur angulaire. Nous définissons :

$$f(\mathbf{p}) = \mathbf{c}_z + c \circ d(\mathbf{p})$$

Ces primitives ressemblent aux objets implicites construits par balayage de fonctions de distances anisotropes proposés par [CBS96].

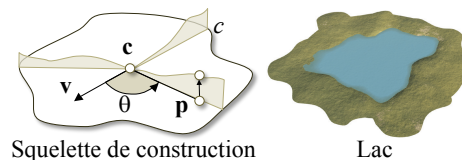


Figure 7: Des primitives plus complexes peuvent être définies avec des formes polygonales. Ici, un lac est créé en définissant procéduralement des profils croissants $\{c_i\}$ de coupes transversales, étoilant un unique point \mathbf{c} .

Les fonctions de poids sont d  finies comme des fonctions de classe C^1 d  croissantes sur un support compact pour limiter l'influence de la primitive et contr  ler leur influence relative dans l'arbre de construction. Soit $d(\mathbf{p})$ la distance entre le point \mathbf{p} et le squelette. Nous d  finissons la fonction de poids α comme la composition de la distance avec une fonction d'att  nuation g :

$$\alpha(\mathbf{p}) = g \circ d(\mathbf{p})$$

Dans notre impl  mentation, nous utilisons la fonction d  finie par Wyvill dans [WGG99] qui permet un bon contr  le :

$$g(x) = \begin{cases} \left(1 - \left(\frac{x}{r}\right)^2\right)^3 & \text{si } x < r \\ 0 & \text{sinon} \end{cases}$$

4.2. Les primitives    base images

Les primitives    base d'images sont utilis  es pour d  finir certains   l  ments caract  ristiques de terrains qui seraient difficiles    mod  liser par une fonction proc  durale s'appuyant sur un squelette comme des morceaux de rivi  res d  taill  s ou des ridules de sables.

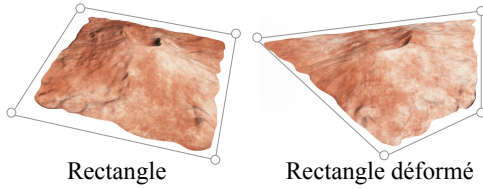


Figure 8: Il est possible de projeter des donn  es r  elles sur un quadrangle convexe que l'on peut d  former.   tant donn   un point dans le quadrangle, on calcule les param  tres (u, v) par une interpolation bilin  aire inverse pour ensuite chercher la valeur d'  l  vation contenue dans l'image.

Les fonctions d'  l  vation et de poids sont d  finies en projetant des cartes de hauteurs et de poids sur un domaine Ω dont on conna  t une param  trisation (u, v) . L'  valuation de f et α se fait alors en interpolant les donn  es pour garantir une condition de Lipschitz pour f et une continuit   C^1 pour α . Nous proposons une param  trisation sur des quadrangles convexes qui nous permette d'utiliser facilement des cartes de hauteurs de reliefs montagneux dans nos sc  nes (Fig. 8).

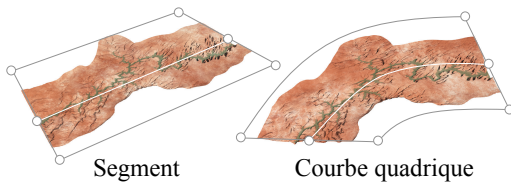


Figure 9: Projeter des images de rivi  res sur des courbes nous permet d'utiliser une g  om  trie complexe plusieurs fois, sans effet apparent de r  p  tition.

Nous proposons   galement une param  trisation le long des courbes. Ces primitives permettent en particulier de cr  er des rivi  res et des confluences aux trajectoires et aux reliefs tr  s complexes (Fig. 9).

5. Op  rateurs

Les op  rateurs sont des n  uds internes qui combinent les fonctions d'  l  vation et de poids de leurs sous-arbres pour d  finir deux nouvelles fonctions f et α . Nous consid  rons par la suite des n  uds binaires et notons les deux sous-arbres A et B.

5.1. L'op  rateur de m  lange

Cet op  rateur est un moyen efficace de cr  er de grands terrains    l'aide d'un ensemble de patches. Le m  lange de deux n  uds A et B combine les fonctions d'  l  vements f_A et f_B    l'aide des fonctions de poids α_A et α_B et permet d'agr  ger deux primitives de terrains (Fig. 10).

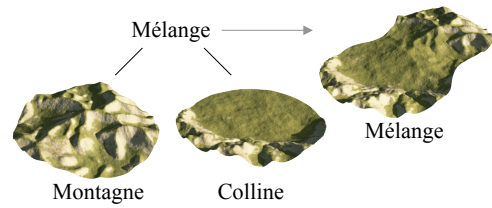


Figure 10: L'op  rateur de m  lange permet d'agr  ger plusieurs primitives de mani  re continue. Ce n  ud peut   tre ais  ment transform   en un op  rateur n -aire pour g  rer plusieurs primitives.

$$f = \frac{\alpha_A f_A + \alpha_B f_B}{\alpha_A + \alpha_B} \quad \alpha = \alpha_A + \alpha_B$$

Quand deux primitives sont suffisamment   loign  es (leurs supports Ω_A et Ω_B ne s'intersectent pas), elles n'ont pas d'influence l'une sur l'autre et le r  sultat est alors l'union des terrains produits par les sous-arbres A et B. Quand les primitives se rapprochent, les r  gions d'influence s'intersectent et les primitives se m  langent progressivement (Fig. 11).

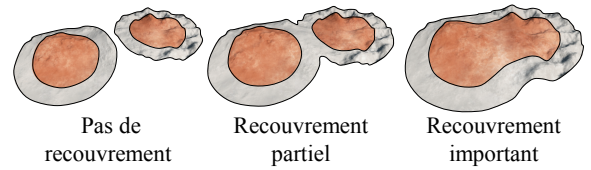


Figure 11: Le m  lange de deux primitives permet d'  tendre le domaine de d  finition de notre terrain. Si les deux primitives sont disjointes, l'op  rateur correspond    une union. Quand les primitives se rapprochent, leurs supports et leurs   l  vements se m  langent de fa  on continue.

L'op  rateur de m  lange est commutatif et associatif et peut   tre facilement   tendu pour devenir un op  rateur n -aire. Cette propri  t   nous permet d'optimiser la taille m  moire de la structure hi  rarchique mais aussi d'utiliser une grille acc  l  ratrice pour g  rer de mani  re efficace un nombre tr  s important de primitives.

5.2. L'opérateur de remplacement

Cet opérateur permet de placer un morceau de terrain caractéristique à un endroit précis. Ce nœud permet de remplacer de façon continue son sous-arbre A par le sous-arbre B.

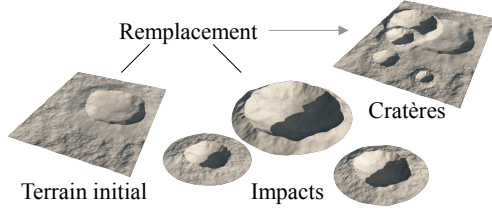


Figure 12: L'opérateur de remplacement permet de facilement sculpter la forme d'un paysage. Il permet également de représenter une notion de temporalité : ici, le dernier opérande correspond au cratère le plus récent.

Cet opérateur asymétrique peut être utilisé pour placer une géométrie précise comme un cours d'eau ou un lac sur un terrain. Il permet de facilement sculpter la trajectoire d'une route ou créer un paysage lunaire (Fig. 12). Le nœud A est remplacé par B uniquement là où $\alpha_B > 0$:

$$f = (1 - \alpha_B) f_A + \alpha_B f_B \quad \alpha = \alpha_A$$

En général, nous voulons garder le poids de l'opérande de gauche ce qui donne $\alpha = \alpha_A$. En fonction du contexte, nous pouvons également prendre en compte l'influence de la fonction de poids α_B et définir alors :

$$\alpha = (1 - \alpha_B) \alpha_A + \alpha_B^2$$

ce qui remplace progressivement α_A par α_B .

5.3. L'opérateur de dépôt

Cet opérateur ajoute localement des variations et des détails sur un terrain existant A en accord avec la fonction de poids α_B du deuxième argument B (Fig. 13).

$$f = f_A + \alpha_B f_B \quad \alpha = \alpha_A$$

De manière similaire à l'opérateur de remplacement, nous voulons souvent garder le poids de l'opérande gauche, ce qui revient à définir $\alpha = \alpha_A$. Une autre possibilité est de prendre en compte l'influence du deuxième argument α_B en définissant $\alpha = \alpha_A + \alpha_B^2$.

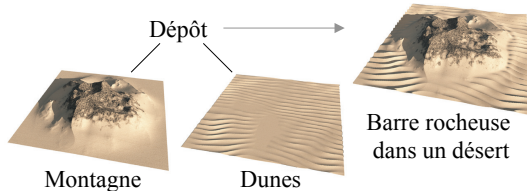


Figure 13: Les dunes de sable ont été rajoutées à un paysage montagneux. Pour être présent dans les basses altitudes sans recouvrir les roches, la fonction de poids α_B a été définie à l'aide de l'élévation f_A et du gradient ∇f_A de la montagne.

5.4. L'opérateur de déformation

Cet opérateur permet une distorsion des parcelles de terrain en déformant les fonctions d'élévation f et de poids α (Fig. 14). Une déformation est une fonction de classe C^2 bijective notée $\omega(\mathbf{p}) : \mathbf{R}^2 \rightarrow \mathbf{R}^2$. L'opérateur de déformation d'une primitive est défini comme un nœud unaire qui peut être évalué ainsi :

$$f(\mathbf{p}) = f_A \circ \omega^{-1}(\mathbf{p}) \quad \alpha(\mathbf{p}) = \alpha_A \circ \omega^{-1}(\mathbf{p})$$

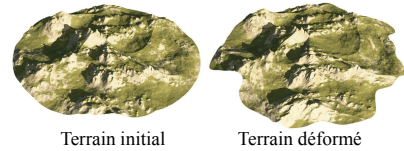


Figure 14: Il est possible de déformer aussi bien les primitives que des morceaux de terrains combinés. Une déformation permet d'éliminer la répétitivité que l'on peut retrouver quand on utilise massivement un même type de primitive.

Dans certains cas, nous voulons calculer le gradient de la fonction d'élévation, e.g., pour évaluer une normale sur le terrain. Le gradient de f devient :

$$\nabla f(\mathbf{p}) = \nabla f_A \circ \omega^{-1}(\mathbf{p}) \times J_{\omega^{-1}}(\mathbf{p})$$

Afin d'optimiser les temps de calcul, nous stockons le Jacobien $J_{\omega^{-1}}$ pour chaque fonction de déformation ω .

Les transformations affines sont des opérateurs de déformations spécifiques. Bien que le résultat soit identique à appliquer les mêmes transformations sur les squelettes des primitives, l'avantage vient du fait qu'il est possible de transformer un morceau de terrain complexe correspondant à un sous-arbre composé de plusieurs primitives. De plus, chaque primitive peut être définie dans un repère propre et avec une orientation et une mise à l'échelle canoniques ce qui permet de les instancier plusieurs fois : notre arbre de construction devient alors un graphe orienté acyclique (Fig. 15).

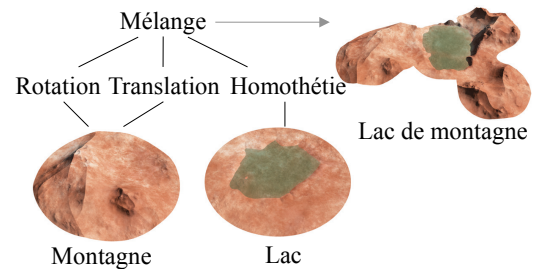


Figure 15: L'instanciation associée aux opérateurs de transformations (translation, rotation, homothétie) permet de réutiliser une primitive plusieurs fois dans une scène.

Les transformations affines peuvent être composées avec d'autres déformations. Pour des raisons d'optimisation, les transformations affines consécutives sont concaténées.

6. Niveaux de d  tails

Notre mod  le de repr  sentation    l'aide d'arbres de constructions permet d'  valuer la fonction d'  l  vation en int  grant un syst  me de niveaux de d  tails continu. Dans notre syst  me, nous adaptons le calcul de f soit par l'utilisation d'un syst  me de n  ud interne d  cendant d'un niveau de d  tails, soit par la cr  ation de primitives param  tr  es par un niveau de d  tails. Nous notons $\kappa(\mathbf{p}) : \mathbf{R}^2 \rightarrow [0, 1]$ une fonction continue C^1 d  finissant le niveau de d  tails.

Les op  rateurs de niveaux de d  tails sont des n  uds binaires dont les sous-arbres sont   valu  es en fonction du niveau de d  tails voulu en entr  e $\kappa(\mathbf{p})$. Ces n  uds sont caract  ris  s par deux valeurs faisant office de seuil : k_A et k_B avec $0 \leq k_A < k_B \leq 1$ qui d  finissent quel sous-arbre doit   tre   valu   en fonction du niveau de d  tails voulu. La fonction d'  l  vation est d  finie comme suit :

$$f(\mathbf{p}) = \begin{cases} f_A & \text{si } \kappa(\mathbf{p}) \leq k_A \\ (1-t)f_A + tf_B & \text{si } k_A < \kappa(\mathbf{p}) \leq k_B \\ f_B & \text{sinon} \end{cases}$$

avec

$$t = 1 - \frac{k_B - \kappa(\mathbf{p})}{k_B - k_A}$$

La fonction de poids α est calcul  e de la m  me mani  re.

Les primitives avec niveaux de d  tails continus sont caract  ris  es par une fonction d'  l  vation $f(\mathbf{p})$ dont le calcul d  pend de la fonction $\kappa(\mathbf{p})$. Ces primitives    niveaux de d  tails simplifient automatiquement leur   valuation pour acc  l  rer les calculs quand le niveau de d  tails diminue.

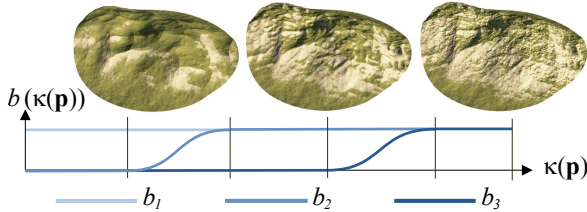


Figure 16: Un exemple de primitive disque param  tr  e par un niveau de d  tails. Alors que le niveau de d  tails global κ augmente, les fonctions b_i vont progressivement cro  tre pour ajouter du d  tail.

Notre syst  me impl  mente diff  rents types de primitives    niveaux de d  tails continus. Un exemple est la primitive disque dont la fonction d'  l  vation correspond    une somme de fonctions de bruits d'amplitudes d  croissantes et de fr  quences croissantes. Pour un faible niveau de d  tails, seules les plus basses fr  quences sont somm  es. Entre deux niveaux de d  tails, nous interpolons les   l  vations afin d'obtenir une transition continue. Nous d  finissons $f(\mathbf{p})$ par :

$$f(\mathbf{p}) = \mathbf{c}_z + \sum_{i=0}^{n-1} a_i \eta((\mathbf{p} - \mathbf{c}) \cdot \mathbf{s}_i) b_i \circ \kappa(\mathbf{p})$$

Les termes $b_i : [0, 1] \rightarrow [0, 1]$ sont d  finis comme des

fonctions augmentant progressivement le niveau de d  tails $\kappa(\mathbf{p})$. Nous avons toujours $b_i(1) = 1$ et le niveau de d  tails est contr  l   en modifiant les intervalles de d  finition (Fig. 16) o   les fonctions b_i croissent progressivement de 0    1. Dans notre impl  mentation, nous d  finissons $\kappa(\mathbf{p})$ de mani  re    ce que le niveau de d  tails diminue alors que la distance entre la cam  ra et le point   valu   augmente.

7. Visualisation

Dans cette partie, nous pr  sentons une m  thode de lancer de rayon pour visualiser notre mod  le de terrain (Fig. 17) en tirant parti des propri  t  s de construction par arbre de fonctions. Notre approche s'inspire de la m  thode de *sphere tracing* [Har94] qui est une technique robuste pour visualiser des surfaces implicites dans l'espace    l'aide d'un lancer de rayons. Contrairement aux LG-surfaces [KB89], il n'est pas n  cessaire de disposer d'une fonction de classe C^2 : il suffit d'avoir une fonction potentiel de classe C^0 qui respecte la propri  t   de Lipschitz. La d  riv  e n'est pas n  cessairement continue, ni m  me d  finie sur tout le domaine.

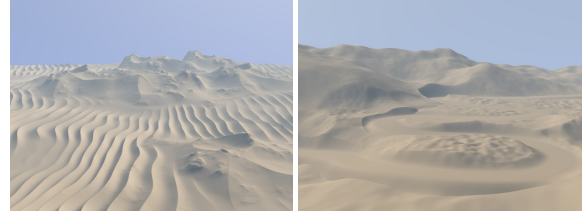


Figure 17: Exemples de terrains rendus en temps-r  el sur GPU avec l'algorithme de sphere tracing. Cette m  thode permet de visualiser rapidement et sans art  fact des g  om  tries fines et saillantes comme les cr  tes des dunes de sables.

Rappelons qu'une fonction potentiel dans l'espace $h : \mathbf{R}^3 \rightarrow \mathbf{R}$ garantit la propri  t   de Lipschitz sur le domaine Ω si et seulement s'il existe une constante positive λ telle que :

$$\forall (\mathbf{p}, \mathbf{q}) \in \Omega \times \Omega, |h(\mathbf{p}) - h(\mathbf{q})| < \lambda \|\mathbf{p} - \mathbf{q}\|$$

La constante de Lipschitz λ est la valeur minimale satisfaisant cette   quation. En pratique, les constantes de Lipschitz sont sur-estim  es par une borne de Lipschitz.

Le *sphere tracing* consiste    marcher le long du rayon Δ avec un incr  ment adaptatif $|h(\mathbf{p})|/\lambda$ suffisamment petit pour ne jamais traverser la surface. Soit $r(t) = \mathbf{o} + t\mathbf{u}$ l'  quation param  trique du rayon (\mathbf{u} normalis  ). Nous notons $h(t) = h \circ r(t)$ la fonction potentiel le long du rayon et ϵ la valeur seuil    partir de laquelle on consid  re qu'on intersecte la surface. L'algorithme peut s'  crire comme suit :

1. Calculer une borne de Lipschitz λ de la fonction h , et l'intervalle $[t_-, t_+] = \Delta \cap \Omega$, initialiser t    t_- .
2. Tant que $t < t_+$, calculer $h(t)$. Si $|h(t)| < \epsilon$ alors il y a intersection, sinon progresser de l'incr  ment $|h(t)|/\lambda$ et continuer.

Dans les sections suivantes, nous montrons comment acc  l  rer cet algorithme pour notre mod  le de terrain.

7.1. Sphere tracing

Soit \mathbf{p} un point de \mathbf{R}^3 , on note \mathbf{p}_{xy} et \mathbf{p}_z les coordonn  es x , y et z de \mathbf{p} ; $f(\mathbf{p}_{xy})$ repr  sentant l'  l  vation du terrain en \mathbf{p}_{xy} . La surface implicite repr  sentant notre terrain correspond    la fonction potentiel not  e $h : \mathbf{R}^3 \rightarrow \mathbf{R}$ et d  finie par :

$$h(\mathbf{p}) = \mathbf{p}_z - f(\mathbf{p}_{xy})$$

La fonction f   tant construite par une combinaison hi  rarchique de primitives d  finies sur des supports compacts, les constantes de Lipschitz locales sont en g  n  ral tr  s inf  rieures    λ . Ces bornes peuvent   tre calcul  es en utilisant des structures de d  composition de l'espace au prix d'un surco  t m  moire   lev  . Nous proposons un algorithme de *sphere tracing* adapt   s'appuyant sur une   valuation    la vol  e d'une borne de Lipschitz locale en tout point du rayon.

L'algorithme consiste    avancer progressivement et de mani  re adaptative le long du rayon en calculant une borne de Lipschitz dans le voisinage du point consid  r  .    chaque pas, nous essayons d'avancer de la distance δ . Cette distance d  finit un intervalle $[t, t + \delta]$ correspondant    un segment $[\mathbf{p}, \mathbf{q}]$ avec $\mathbf{q} = \mathbf{p} + \delta \mathbf{u}$ sur le rayon. Nous effectuons une requ  te dans l'arbre pour calculer    la fois $f(\mathbf{p})$ et la borne de Lipschitz locale $\lambda(t, \delta)$ sur l'intervalle. La fonction $h \circ r(t)$ se d  veloppe en :

$$h \circ r(t) = \mathbf{o}_z + t \mathbf{u}_z - f(\mathbf{a}_{xy} + t \mathbf{u}_{xy})$$

La d  riv  e de $h \circ r(t)$ par rapport    t est :

$$(h \circ r)'(t) = \mathbf{u}_z - \|\mathbf{u}_{xy}\| f'(\mathbf{a}_{xy} + t \mathbf{u}_{xy})$$

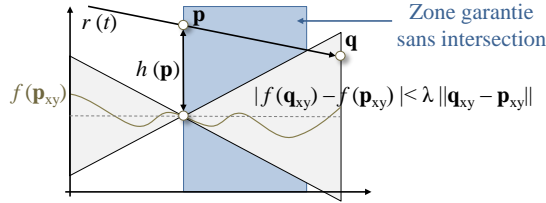


Figure 18: Crit  re d'intersection entre un rayon et la surface du terrain.

En fonction de la valeur de $\mathbf{u}_z - \|\mathbf{u}_{xy}\| \lambda(t, \delta)$, deux cas peuvent se produire (Fig. 18 montre une interpr  tation g  om  trique des diff  rentes pentes mentionn  es dans les   quations) :

1. Si $\lambda(t, \delta) \|\mathbf{u}_{xy}\| - \mathbf{u}_z > 0$, il est possible d'avancer de la distance :

$$\frac{h(t)}{(\lambda(t, \delta) \|\mathbf{u}_{xy}\| - \mathbf{u}_z)}$$

2. Si $\lambda(t, \delta) \|\mathbf{u}_{xy}\| - \mathbf{u}_z \leq 0$, aucune intersection n'est d  tect  e sur l'intervalle $[t, t + \delta]$ puisque la d  riv  e est positive.

Par cons  quent, nous pouvons avancer le long du rayon sans intersecter la surface du terrain en progressant de la distance minimale suivante :

$$s(t, \delta) = \min \left(\delta, \frac{h(t)}{(\lambda(t, \delta) \|\mathbf{u}_{xy}\| - \mathbf{u}_z)} \right)$$

Etant donn  e une distance de progression initiale δ , l'algorithme proc  de en trois   tapes :

1. Calculer l'intervalle $[t_-, t_+] = \Delta \cap \Omega$, initialiser t    t_- .
2. Tant que $t < t_+$, calculer $h(t)$ et $\lambda(t, \delta)$.
 - 2.1 Si $h(t) < 0$ alors une intersection est d  tect  e en t .
 - 2.2 Sinon incr  menter t de la valeur de $s(t, \delta)$.
3. Mettre    jour la distance δ    2δ .

L'  tape 3 de l'algorithme contraint    essayer d'avancer constamment avec un pas de plus en plus grand. Le calcul de $s(t, \delta)$ garantit que ce pas est ajust   de mani  re    garantir une progression sans traverser la surface.

7.2. Calcul des constantes de Lipschitz

Notre mod  le permet d'obtenir une   valuation des constantes de Lipschitz pour tous les types de n  uds (op  rateurs) et de feuilles (primitives) de l'arbre. Par cons  quent, la constante de Lipschitz λ de la racine de l'arbre est calcul  e en traversant la structure de l'arbre r  cursivement. Pour chaque n  ud nous avons besoin de calculer les   l  vations maximum et minimum et les constantes de Lipschitz des fonctions d'  l  vations et de poids.

7.2.1. Primitives

Toutes les primitives ont de bonnes propri  t  s de continuit   et de d  rivabilit   et respectent toujours la propri  t   de Lipschitz.

Primitives    partir d'images Pour les primitives construites    partir d'images, la fonction d'  l  vation est calcul  e par une interpolation bilin  aire d'une carte de hauteurs. Pour une projection sur un rectangle, la fonction f est Lipschitzienne et sa constante est proportionnelle au maximum des diff  rences entre deux   chantillons voisins de cette carte et inversement proportionnelle    la distance l entre les   chantillons :

$$\lambda = \frac{1}{l} \sup_{i,j \in [0,n-1]^2} \left(\max(|f_{i,j} - f_{i+1,j}|, |f_{i,j} - f_{i,j+1}|) \right)$$

Lors d'une projection le long d'une courbe ou sur un quadrangle, cette constante est modifi  e par la d  formation.

Primitives    squelettes Les primitives utilis  es dans notre mod  le sont construites par combinaison de sommes de fonctions de bruit    diff  rentes amplitudes et fr  quences. La fonction de bruit, not  e η , respecte intrins  quement la propri  t   de Lipschitz, et nous notons λ_η sa borne. Quand plusieurs harmoniques de bruits sont somm  es comme dans le cas d'une primitive disque, nous estimons la nouvelle borne par la somme des constantes de Lipschitz de chacune des harmoniques.

$$\lambda = \sum_{i=0}^{n-1} \frac{a_i \lambda_\eta}{s_i}$$

Fonctions de poids Les fonctions de poids α sont d  finies par $\alpha(\mathbf{p}) = g \circ d(\mathbf{p})$ o   d est la distance euclidienne    un squelette et g la fonction de Wyvill. La constante de Lipschitz de α est le maximum de la d  riv  e de g . Les d  tails sont pr  sent  s en annexe.

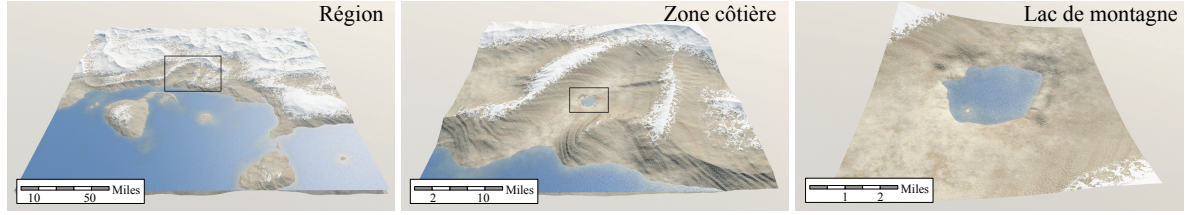


Figure 19: Notre mod  le permet de repr  senter des sc  nes compos  es d'  l  ments de taille tr  s variable. Dans cet exemple, le relief g  n  ral a   t   g  n  r   en m  langeant plusieurs primitives disques ; la montagne plus d  taill  e, qui borde la mer, provient d'une primitive    image. Enfin, le relief du lac a   t   cr     par une combinaison de primitives disques et creus   par un op  rateur de remplacement.

7.2.2. Op  rateurs

Pour chaque type d'op  rateur, nous pouvons calculer sa borne de Lipschitz en fonction des bornes des sous-arbres    combiner. Par exemple, la constante de Lipschitz λ d'un n  ud de m  lange est d  finie comme suit :

$$\lambda \leq \max(\lambda_{f_A}, \lambda_{f_B}) + \max(\lambda_{\alpha_A}, \lambda_{\alpha_B}) \sup |f_A - f_B|$$

o   $\lambda_{f_A}, \lambda_{f_B}, \lambda_{\alpha_A}, \lambda_{\alpha_B}$ repr  sentent les constantes de Lipschitz des fonctions d'  l  vation et des fonctions de poids de chacun des sous-arbres respectivement. La preuve est fournie en annexe.

8. R  sultats

Nous avons impl  ment   notre m  thode en C++. Tous les terrains ont   t   g  n  r  s sur un ordinateur   quip   d'un Intel^{  } Core i7 avec une fr  quence de 3 GHz et 16 Go de RAM. Les terrains sont ensuite export  s et rendus sur MentalRay^{  } afin de produire des images photor  alistes. Les   valuations GPU ont   t   r  alis  es avec une nVidia^{  } GeForce GTX 670 en utilisant GLSL 4.4.

8.1.   dition

Notre approche permet de construire et manipuler des terrains complexes et vari  s en composant    la fois des primitives d  finissant des caract  ristiques de grande taille (montagnes, plaines, plateaux) et des primitives de plus petite taille pour sculpter et   diter des d  tails de relief (rivi  res, dunes, lacs).

Un arbre de construction peut   tre repr  sent   de mani  re compacte par un tableau de param  tres. La structure est l  g  re et nos exp  rimentations montrent (Table 1) que, dans la majorit   des cas, une dizaine ou une centaine de primitives par kilom  tre carr   suffisent pour repr  senter les diff  rents types de relief pr  sents dans la nature (collines, montagnes, rivi  res) ; les d  tails au sol   tant introduits par des fonctions de bruit. Des primitives suppl  mentaires pourraient encore enrichir le sol de d  tails avec des empreintes de pas, traces de v  hicules, ridules sur le sable, crevasses.

L'utilisation de primitives proc  durales d  finies sur des domaines compacts et repr  sentant diff  rents types de structures g  ologiques/g  ographiques permet un contr  le    la fois local et semi-global. Il est facile pour un artiste d'  diter localement le terrain et d'augmenter les d  tails. Notre mod  le

permet de construire des sc  nes de tailles vari  es (Fig. 19) avec un niveau de d  tails   lev   (Fig. 20).

Notre mod  le peut s'  tendre facilement par l'ajout de nouvelles primitives ou d'op  rateurs qui r  pondront aux besoins sp  cifiques d'un utilisateur. En pratique, pour d  velopper un nouveau n  ud dans le mod  le hi  rarchique, il suffit d'int  grer une dizaine de lignes de code dans une nouvelle classe.

Enfin, les algorithmes de g  n  ration proc  durale de terrains peuvent s'appuyer sur ce type de mod  le comme le d  montre la m  thode de g  n  ration d'  les pr  sent  e dans [GGG^{  }13] qui repose sur une structure similaire.

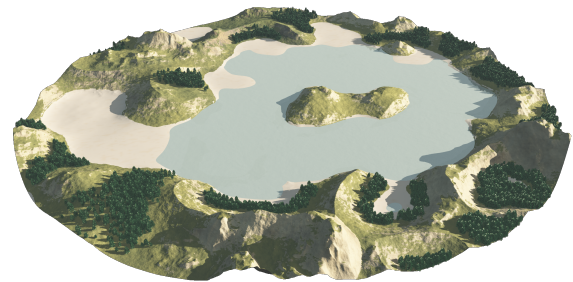


Figure 20: Notre mod  le permet de construire des sc  nes complexes. En utilisant des arbres de construction suppl  mentaires, il est possible de repr  senter plusieurs couches de mat  riaux (ici, la roche, le sable et l'eau). La densit   de v  g  tation peut   tre g  r  e de la m  me mani  re.

8.2. Performances

Notre mod  le repose sur un nombre de primitives et d'op  rateurs g  n  riques relativement r  duit. Les fonctions d'  l  vation $f(\mathbf{p})$ et de poids $\alpha(\mathbf{p})$ sont suffisamment simples pour que leur calcul soit transposable dans un *shader program*. Les param  tres caract  ristiques d'un arbre de construction et les param  tres des diff  rents n  uds de l'arbre sont stock  s dans un *buffer*. L'  valuation d'une fonction se fait en analysant le *buffer* de donn  es et en appelant les fonctions g  n  riques avec leurs donn  es correspondantes.

Nous avons impl  ment   deux techniques diff  rentes de

Scène	Sphere tracing		Maillage régulier		Stockage mémoire			Superficie
	Appels à $f(\mathbf{p})$	Temps	Appels à $f(\mathbf{p})$	Temps	Primitives	Opérateurs	Coût	
Fig. 1	60M	214	5M	14	70	9	10	4
Fig. 3	55M	36	20M	22	20	3	32	1
Fig. 20	66M	248	20M	60	78	10	12	7
Fig. 21	52M	397	20M	140	148	9	19	0.3
Fig. 22	79M	177	80M	160	10	46	6	5

Table 1: Statistiques pour différentes scènes. Les temps de calcul sont en millisecondes, le coût mémoire en ko, la superficie en km^2 . L'algorithme de sphere tracing est utilisé pour générer des images de résolution FullHD (1920×1080). Les scènes ont été construites en 15 à 45 minutes pour les plus complexes, la majeure partie du temps de construction étant consacrée au placement des détails (trajectoire des routes et des rivières).

visualisation de nos terrains sur GPU : un algorithme de *sphere tracing* (Section 7) et une tessellation adaptative basée sur un *quad-tree* comme présenté dans [DIP14]. Les deux méthodes utilisent le GPU pour évaluer l'arbre de construction représentant le terrain et permettent de générer des images en un temps interactif (Fig. 17).

La tessellation adaptative basée sur un *quad-tree* permet de visualiser le terrain avec une résolution multi-échelles et sans trous apparents en utilisant un critère de niveau de détails qui dépend de la distance à la caméra. Cette technique tire avantage de la tessellation matérielle et des capacités de *culling* du GPU.

En général, l'évaluation d'un arbre de construction pour visualiser un terrain ne prend que quelques secondes sur CPU et moins d'une seconde sur GPU ce qui permet d'explorer les scènes de manière interactive. Le tableau Table 1 montre quelques statistiques sur la visualisation des différentes scènes illustrant l'ensemble de l'article. Pour les scènes composées de plusieurs centaines de primitives, l'élagage spatial de l'évaluation (grâce à une hiérarchie de boîtes englobantes) s'avère très utile pour diminuer le nombre de calculs à faire. L'élagage fréquentiel permet d'éviter encore plus de calculs et accélère l'algorithme de *sphere tracing* en augmentant les pas et en diminuant les constantes de Lipschitz.

9. Conclusions et perspectives

Nous avons proposé un modèle de représentation hiérarchique original reposant sur des primitives procédurales pour créer des terrains complexes continus avec un niveau de détails important (Fig. 21). Inspiré par les surfaces implicites à squelettes et la *Constructive Solid Geometry*, nous définissons l'élévation de chaque point en utilisant un arbre de construction dont les feuilles sont des primitives décrivant des morceaux de terrains homogènes et dont les nœuds internes représentent les opérations pour combiner et agréger ces morceaux. Le rendu des scènes est effectué sur GPU, soit par un algorithme de *sphere tracing* utilisant les propriétés mathématiques des bornes de Lipschitz que nous pouvons calculer sur l'ensemble de nos terrains, soit par une polygonisation implémentée sur GPU.

Limitations

Notre méthode ne permet de représenter que des terrains 2D surfaciques sans surplombs, contrairement aux méthodes travaillant avec des piles de matières ou avec des voxels. Cela est dû à la nature de l'arbre et des calculs d'élévation. Toutefois, il est possible de représenter plusieurs couches de différents matériaux superposés à l'aide d'arbres supplémentaires (par exemple, l'eau et le sable dans les Fig. 20 et 22).

Afin de représenter de nouvelles variétés de paysages, notre approche nécessite d'étendre le modèle avec de nouveaux nœuds. Cette opération est facile à effectuer mais il est tout de même nécessaire d'avoir une définition analytique de chaque nouveau type de relief.

Enfin, notre modèle de représentation n'est pas adapté aux calculs de simulation tels que l'érosion. En effet, ces méthodes s'appuient sur la connaissance de voisinages qui n'est pas compatible avec notre méthode. Si cette contrainte nous fait perdre en expressivité, nous gagnons en performances en proposant une évaluation dite *pure* (qui ne requiert de calculer la fonction qu'en un seul point 2D).

Perspectives

Les phénomènes d'érosion jouant un grand rôle dans l'aspect des terrains, nous souhaiterions tester des érosions procédurales qui ne se basent pas sur des simulations nécessitant des calculs de voisinages. Une technique d'érosion dont l'évaluation est *pure* et qui s'intégrerait dans notre modèle est proposée dans [dCB09].

Nous avons proposé un modèle de représentation qui pourrait servir de base à de nombreux travaux. Nous pensons que de nombreux algorithmes de génération procédurale existants pourraient s'appuyer sur notre modèle au lieu de travailler sur des grilles régulières. Nous souhaiterions également concevoir des outils d'édition interactive qui reposeraient sur notre modèle et permettraient à un artiste de construire une scène très rapidement.

À plus long terme, nous souhaiterions étudier comment combiner efficacement notre approche avec d'autres modèles de représentations (terrains 3D avec grottes et arches, animation de l'eau, intégration de bâtiments).



Figure 21: Exemple d'une route de montagne serpentant le relief. L'artiste a esquissé la scène en mélangeant une centaine de primitives disques pour définir le relief. La trajectoire de la route a été définie à l'aide d'une vingtaine de courbes quadriques et l'opérateur de remplacement a effectué le terrassement. Afin de rendre l'intégration de la route plus naturelle, quelques primitives disques ont été placées le long de cette trajectoire pour ajuster localement l'élévation.

Annexe : constantes de Lipschitz

Cette partie présente les calculs de constantes de Lipschitz pour quelques opérateurs et primitives.

Fonction de mélange de Wyvill Nous utilisons cette fonction pour définir la fonction de poids $\alpha(\mathbf{p})$ de plusieurs primitives à squelettes. Rappelons que la fonction C^2 de Wyvill $g(x)$, pour un rayon de $r = 1$, est définie ainsi :

$$g(x) = \begin{cases} (1-x^2)^3 & \text{si } x < 1 \\ 0 & \text{sinon} \end{cases}$$

Pour $x < 1$, nous avons : $g'(x) = -6x(1-x^2)^2$. Trouver la constante de Lipschitz de g consiste à trouver le maximum de g' . Pour cela, considérons $g''(x) = -6(1-x^2)(1-5x^2)$. La dérivée seconde a deux racines en 1 et $1/\sqrt{5}$. Seule cette dernière correspond à un maximum de $g'(x)$. La valeur absolue maximum de $g'(x)$ est obtenue en évaluant $g'(1/\sqrt{5})$, d'où $\lambda = 96\sqrt{5}/125$. \square

L'opérateur de mélange Soit A et B deux sous-arbres de l'opérateur de mélange. Soit $\beta = \alpha_A/(\alpha_A + \alpha_B)$. La fonction de mélange peut alors s'écrire :

$$f = \beta f_A + (1 - \beta) f_B \quad \alpha = \alpha_A + \alpha_B$$

Le domaine est défini par $\Omega_0 = \{\mathbf{p} \in \mathbf{R}^2 \mid \alpha(\mathbf{p}) > 0\}$.

Soit λ_A et λ_B les constantes de Lipschitz de f_A et f_B . Nous considérons le domaine où f_A , f_B , α_A et α_B sont de continuité C^1 . La constante de Lipschitz λ de f est définie comme $\lambda = \sup_{\mathbf{p} \in \Omega} \|\nabla f(\mathbf{p})\|$. Le gradient ∇f peut s'écrire ainsi :

$$\nabla f = \nabla \beta (f_A - f_B) + \beta \nabla f_A + (1 - \beta) \nabla f_B$$

Comme $\beta \in [0, 1]$, $\|\nabla f\| \leq \max(\lambda_A, \lambda_B) + \lambda_\beta \sup |f_A - f_B|$. Nous devons trouver la constante de Lipschitz λ_β de β . Nous avons :

$$\nabla \beta = \frac{1}{\alpha_A + \alpha_B} ((1 - \beta) \nabla \alpha_A - \beta \nabla \alpha_B)$$

Donc, $\lambda_\beta = \max(\lambda_{\alpha_A}, \lambda_{\alpha_B})$ et finalement :

$$\lambda \leq \max(\lambda_A, \lambda_B) + \max(\lambda_{\alpha_A}, \lambda_{\alpha_B}) \sup |f_A - f_B|$$

Des résultats similaires peuvent être calculés sur les autres opérateurs. \square

Références

- [BA05] BELHADJ F., AUDIBERT P. : Modeling landscapes with ridges and rivers : bottom up approach. In *GRAPHITE* (2005), pp. 447–450. [2](#)
- [BF01] BENEŠ B., FORSBACH R. : Layered data representation for visual simulation of terrain erosion. In *Proc. of the 17th Spring Conf. on Computer Graphics* (2001), pp. 80–85. [2](#)
- [BF02] BENEŠ B., FORSBACH R. : Visual simulation of hydraulic erosion. In *Journal of WSCG* (2002), vol. 10, pp. 79–86. [2](#)
- [BTHB06] BENEŠ B., TĚŠÍNSKÝ V., HORNYŠ J., BHATTIA S. K. : Hydraulic erosion. *Comput. Animat. Virtual Worlds*. Vol. 17, Num. 2 (2006), 99–108. [2](#)
- [CBS96] CRESPIAN B., BLANC C., SCHLICK C. : Implicit sweep objects. *Computer Graphics Forum*. Vol. 15 (1996), 165–174. [4](#)
- [CMF98] CHIBA N., MURAOKA K., FUJITA K. : An erosion model based on velocity fields for the visual simulation of mountain scenery. *Journal of Vis. and Comp. Anim.*. Vol. 9, Num. 4 (1998), 185–194. [2](#)
- [dCB09] DE CARPENTIER G. J. P., BIDARRA R. : Interactive gpu-based procedural heightfield brushes. In *Proc. of Foundations of Digital Games* (2009), pp. 55–62. [10](#)
- [DGGK11] DERZAPF E., GANSTER B., GUTHE M., KLEIN R. : River networks for instant procedural planets. *Comput. Graph. Forum*. Vol. 30, Num. 7 (2011), 2031–2040. [2](#)
- [DIP14] DUPUY J., IEHL J.-C., POULIN P. : *GPU Pro 5 : Advanced Rendering Techniques : Quadrees on the GPU*. A.K Peters, 2014. [3](#), [10](#)
- [EMP*98] EBERT D., MUSGRAVE K., PEACHEY D., PERLIN K., WORLEY S. : *Texturing and Modeling : A Procedural Approach*. Academic Press Professional, 1998. [2](#)
- [GGG*13] GENEVAUX J.-D., GALIN É., GUÉRIN É., PEYTAIE A., BENEŠ B. : Terrain generation using procedural models based on hydrology. *ACM Trans. on Graph.*. Vol. 32, Num. 4 (2013), 143 :1–143 :13. [2](#), [9](#)
- [GMS09] GAIN J., MARAIS P., STRASSER W. : Terrain sketching. In *Proc. of I3D* (2009), pp. 31–38. [2](#)

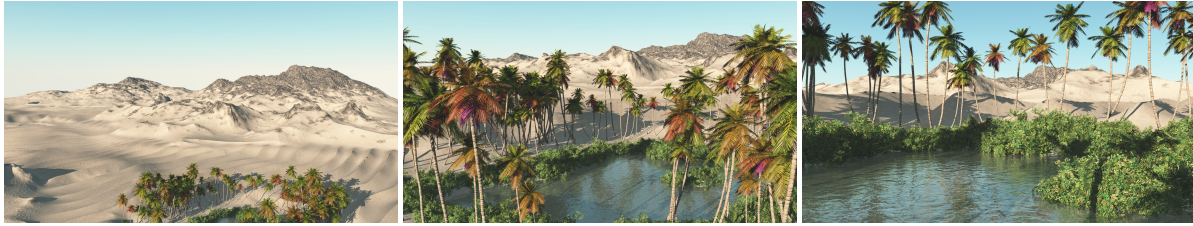


Figure 22: Notre mod  le de repr  sentation, combin      un shading et des textures r  alistes, permet de construire des sc  nes tr  s complexes. Cet arbre de construction n  utilise au total que trois types de primitives : l  oasis correspond    la Fig. 7, les dunes de sable    la Fig. 13, et les montagnes sont plusieurs instances de la Fig. 14. L    levation d  eau et la distribution de la v  g  tation ont   t   d  finies    l  aide d  arbres de constructions additionnels.

- [Har94] HART J. C. : Sphere tracing : A geometric method for the antialiased ray tracing of implicit surfaces. *The Visual Computer*. Vol. 12 (1994), 527–545. 7
- [KB89] KALRA D., BARR A. : Guaranteed ray intersections with implicit surfaces. *SIGGRAPH Computer Graphics*. Vol. 23, Num. 3 (juillet 1989), 297–306. 7
- [KBKS09] KRI  TOF P., BENE   B., K  RIV  NEK J., S  TAVA O. : Hydraulic erosion using smoothed particle hydrodynamics. *Computer Graphics Forum*. Vol. 28, Num. 2 (2009), 219–228. 2
- [KMN88] KELLEY A., MALIN M., NIELSON G. : Terrain simulation using a model of stream erosion. In *Proc. of SIGGRAPH* (1988), pp. 263–268. 2
- [MDH07] MEI X., DECAUDIN P., HU B. : Fast hydraulic erosion simulation and visualization on GPU. In *Pacific Graphics* (2007), pp. 47–56. 2
- [MKM89] MUSGRAVE F. K., KOLB C. E., MACE R. S. : The synthesis and rendering of eroded fractal terrains. In *Proc. of SIGGRAPH* (1989), pp. 41–50. 2, 4
- [Nag98] NAGASHIMA K. : Computer generation of eroded valley and mountain terrains. *The Visual Computer*. Vol. 13, Num. 9-10 (1998), 456–464. 2
- [NLP*13] NATALI M., LIDAL E. M., PARULEK J., VIOLA I., PATEL D. : Modeling terrains and subsurface geology. In *Proceedings of Eurographics STAR* (2013), pp. 155–173. 2
- [PGMG09] PEYTAVIE A., GALIN   ., M  RILLOU S., GROSJEAN J. : Arches : a Framework for Modeling Complex Terrains. *Computer Graphics Forum*. Vol. 28, Num. 2 (2009), 457–467. 2
- [PH93] PRUSINKIEWICZ P., HAMMEL M. : A fractal model of mountains with rivers. In *Graphics Interface* (1993), pp. 174–180. 2
- [RME09] RUSNELL B., MOULD D., ERAMIAN M. G. : Feature-rich distance-based terrain synthesis. *The Visual Computer*. Vol. 25, Num. 5-7 (2009), 573–579. 2
- [SBBK08] S  TAVA O., BENE   B., BRISBIN M., K  RIV  NEK J. : Interactive terrain modeling using hydraulic erosion. In *ACM Siggraph/Eurographics Symposium on Comp. Anim.* (2008), pp. 201–210. 2
- [STBB14] SMELIK R., TUTENE T., BIDARRA R., BENE   B. : A survey on procedural modelling for virtual worlds. *Computer Graphics Forum*. Vol. 33, Num. 1 (2014). 2
- [TEC*14] TASSE F. P., EMILIEN A., CANI M.-P., HAHMANN S., BERNHARDT A. : First person sketch-based terrain editing. In *Graphics Interface* (2014), pp. 217–224. 2
- [Teo09] TEOH S. T. : Riverland : An efficient procedural modeling system for creating realistic-looking terrains. In *Proc. of the ISVC : Part I* (2009), pp. 468–479. 2
- [TGM12] TASSE F. P., GAIN J., MARAIS P. : Enhanced texture-based terrain synthesis on graphics hardware. *Computer Graphics Forum*. Vol. 31, Num. 6 (2012), 1959–1972. 2
- [VBHS11] VANEK J., BENE   B., HEROUT A., S  TAVA O. : Large-scale physics-based terrain editing using adaptive tiles on the GPU. *IEEE, Computer Graphics and Applications*. Vol. 31, Num. 6 (2011), 35–44. 2
- [WCMT07] WOJTAN C., CARLSON M., MUCHA P., TURK G. : Animating corrosion and erosion. In *Proc. of the Eurographics Workshop on Natural Phenomena* (2007), pp. 15–22. 2
- [WGG99] WYVILL B., GUY A., GALIN   . : Extending the CSG tree - warping, blending and boolean operations in an implicit surface modeling system. *Computer Graphics Forum*. Vol. 18, Num. 2 (1999), 149–158. 4, 5
- [ZSTR07] ZHOU H., SUN J., TURK G., REHG J. M. : Terrain synthesis from digital elevation models. *IEEE Transactions on Visualization and Computer Graphics*. Vol. 13, Num. 4 (2007), 834–848. 2